



# БИООРГАНИЧЕСКАЯ ХИМИЯ

том 17 \* № 4 \* 1991

УДК 543.422.25 : 547.458.057 : 577.114.012

© 1991 г.

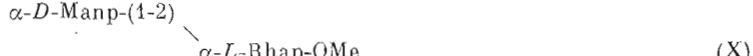
*П.Э. Нифантьев, Л.В. Бакиновский, Г.М. Липкинд,  
А.С. Шашков, Н.К. Кочетков*

## СИНТЕЗ И ИССЛЕДОВАНИЕ СПЕКТРОВ ЯМР И КОНФОРМАЦИЙ РАЗВЕТВЛЕННЫХ ОЛИГОСАХАРИДОВ

### 1. СИНТЕЗ РАЗВЕТВЛЕННЫХ ОЛИГОСАХАРИДОВ, СОДЕРЖАЩИХ ОДИНАКОВЫЕ МОНОСАХАРИДНЫЕ ЗАМЕСТИТЕЛИ ПРИ О2 И О3 В ОСТАТКЕ $\alpha$ -L-РАМНОПИРАНОЗЫ

Институт органической химии им. Н.Д. Зелинского АН СССР, Москва

Для исследования спектральных (ЯМР) и конформационных особенностей 2,3-бис-O-гликозилированных производных  $\alpha$ -L-рамнопиранозы синтезированы следующие олигосахариды:



Для перечисленных соединений получены и полностью интерпретированы спектры  $^1\text{H}$ - и  $^{13}\text{C}$ -ЯМР, в случае олигосахаридов (VIII), (X), (XII), (XIV), (XXIII) и (XXVIII) с использованием двумерной корреляционной спектроскопии ЯМР  $^1\text{H}$ — $^{13}\text{C}$  и одноступенчатой релейной корреляционной спектроскопии  $^1\text{H}$ — $^1\text{H}$  COSYRCT.

Исследование конформаций олигосахаридов с использованием определяемых экспериментально ядерных эффектов Оверхаузера (ЯЭО) и данных теоретических расчетов выявляет стереохимические и структурные факторы, определяющие особенности конформационного состояния олигосахаридов и влияющие на их спектральные (ЯМР) характеристики. Знание этих закономерностей не только позволяет предсказывать и интерпретировать спектры  $^{13}\text{C}$ -ЯМР олигосахаридов и полисахаридов, содержащих эти олигосахариды как фрагменты, но и является основой для создания баз данных, позволяющих проводить бездеструктивный ана-

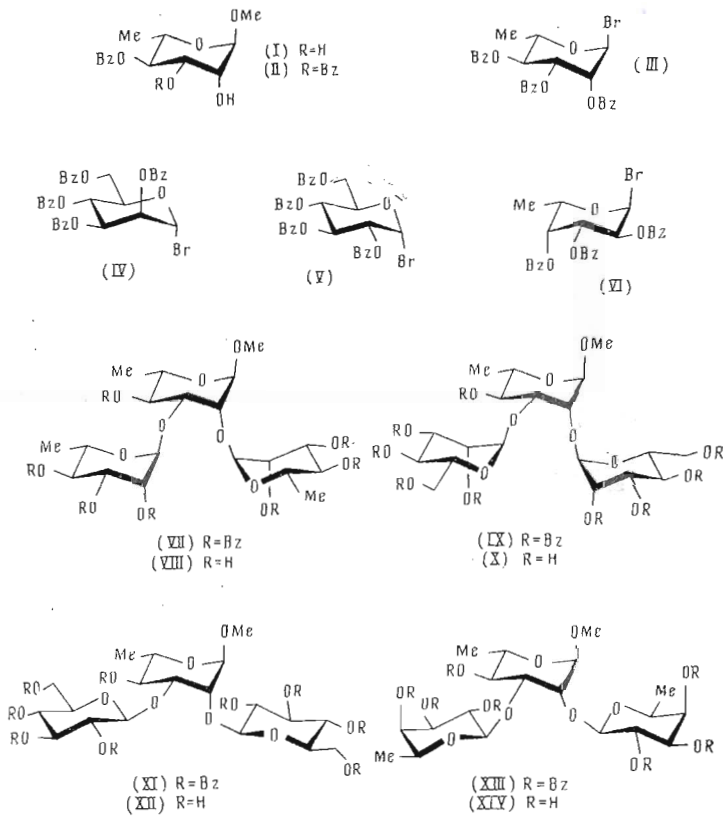
лиз строения полисахаридов с помощью компьютерной обработки их спектров  $^{13}\text{C}$ -ЯМР. В настоящее время работами лаборатории подробно изучены конформационные и спектральные особенности дисахаридов [1] и создана программа для компьютерного анализа спектров  $^{13}\text{C}$ -ЯМР линейных полисахаридов [2], успешно используемая на практике (см., например, [3—5]). Известна программа [6, 7], также предназначенная для анализа спектров линейных и разветвленных полисахаридов.

Исследование разветвленных по вицинальным положениям олиго- и полисахаридов показало, что их спектры  $^{13}\text{C}$ -ЯМР могут существенно отличаться от рассчитанных по аддитивным схемам, исходя из данных для образующих их дисахаридных фрагментов (см., например, [8—15]). Это свидетельствует о том, что одинаковые дисахаридные фрагменты в составе линейных и разветвленных олиго- и полисахаридов могут иметь различные конформации. Поэтому для создания надежной компьютерной программы, позволяющей анализировать строение разветвленных полисахаридов по их спектрам  $^{13}\text{C}$ -ЯМР, необходимо иметь соответствующие данные для достаточно широкого ряда разнообразных разветвленных олигосахаридов. Работы в этом направлении были начаты в нашей и ряде других лабораторий. Так, достаточно полно изучены конформации и спектральные особенности 3,4-бис- $\text{O}$ -гликозилированных производных *D*-галактопиранозы [8, 10—12], и имеются отдельные работы, посвященные некоторым 2,3-бис- $\text{O}$ -гликозил- $\beta$ -*D*-галактопиранозидам [13] и 3,4-бис- $\text{O}$ -гликозил- $\beta$ -*D*-глюкопиранозидам [15]. Однако в перечисленных работах рассмотрены лишь отдельные случаи разветвленных олигосахаридных структур, встречающихся в полисахаридах. Найденные в [8, 10—12] спектральные закономерности уже были использованы для анализа спектров  $^{13}\text{C}$ -ЯМР двух бактериальных полисахаридов [9, 14], содержащих фрагмент 3,4-бис- $\text{O}$ -гликозилированной *D*-галактопиранозы.

Принимая во внимание практическую важность исследования конформаций и спектров ЯМР разветвленных олигосахаридов, мы начали планирование исследование этих соединений. В связи с тем что в природе широко распространены полисахариды, содержащие остаток 2,3-бис- $\text{O}$ -гликозилированной  $\alpha$ -*L*-рамнопиранозы, нами были в первую очередь синтезированы и изучены спектры  $^{13}\text{C}$ -ЯМР и конформации метил-2,3-бис- $\text{O}$ -гликозил- $\alpha$ -*L*-рамнопиранозидов. Отметим, что эти олигосахариды относятся к группе, в которой один из вицинальных заместителей занимает аксиальное положение, а второй — экваториальное.

Данная работа посвящена синтезу метилгликозидов разветвленных олигосахаридов (VIII), (X), (XII), (XIV) и (XXIII), содержащих при  $\text{O}2$  и  $\text{O}3$   $\alpha$ -*L*-рамнопиранозного фрагмента одинаковые моносахаридные заместители: остатки  $\alpha$ -*L*-рамнопиранозы,  $\alpha$ -*D*-маннопиранозы,  $\beta$ -*D*-глюкопиранозы или  $\beta$ -*L*-фукопиранозы. Перечисленные заместители различаются абсолютной конфигурацией (*L*, *D*) и/или конфигурацией аномерного центра ( $\alpha$ ,  $\beta$ ). Олигосахариды (VIII) и (XXIII) имеют одинаковый трирамнозидный фрагмент и отличаются размером заместителя при  $\text{O}1$  бис-гликозилированного остатка рамнозы. Сравнение спектров  $^{13}\text{C}$ -ЯМР соединений (VIII) и (XXIII) было важно для вывода о правомочности «три сахаидного приближения» при моделировании разветвленных полисахаридов.

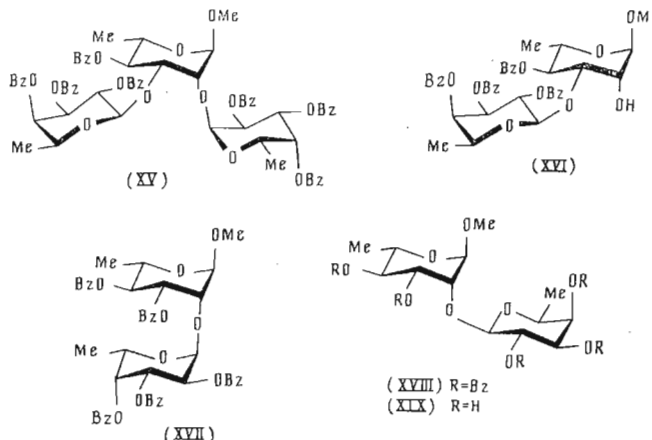
Для получения олигосахаридов (VIII), (X), (XII) и (XIV), в которых моносахаридные остатки соединены 1,2-транс-гликозидной связью, мы планировали использовать бис-гликозилирование диола (I) [16] с помощью бензобромпроизводных рамнозы (III), маннозы (IV), глюкозы (V) и фукозы (VI) в условиях реакции Гельфераха. В первых двух случаях реакция не вызывала трудности — гликозилирование проводили при комнатной температуре, и с высокими выходами были получены бензоилированные трисахаидные продукты (VII) и (IX). Бензобромглюкоза (V) практически не вступала во взаимодействие с диолом (I) при комнатной температуре, поэтому реакцию проводили при нагревании при 60—70° С. В результате была получена сложная смесь продуктов, из которой с помощью ВЭЖХ удалось выделить в индивидуальном состоянии только пре-



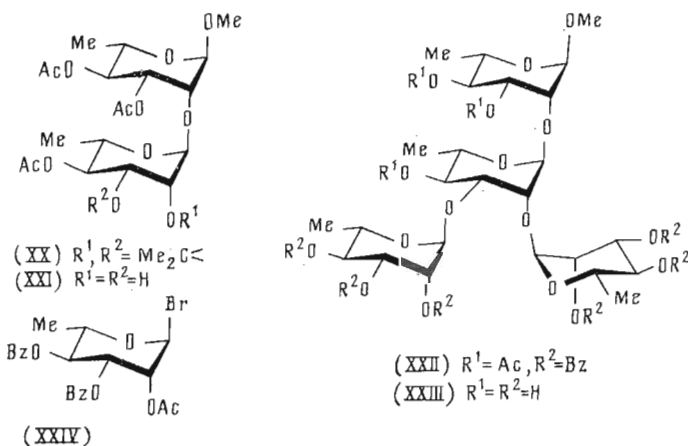
обладающий в смеси трисахарид (XI), выход которого составлял 70 %. Побочными продуктами гликозилирования являлись, судя по данным спектров  $^{13}\text{C}$ -ЯМР, олигосахариды с  $\alpha$ -глюкозидной связью.

Иначе происходило гликозилирование диола (I) бензобромфукозой (VI). При взаимодействии соединений (I) и (VI) (3 эквивалента; в синтезах трисахаридов (VII), (IX) и (XI) использовалось по 4 эквивалента бензобромсахаров (III)–(V)) в условиях реакции Гельфераиха (реакция проводилась при комнатной температуре) в качестве двух главных продуктов с выходами 48 и 40 % были получены трисахарид (XV), содержащий  $\alpha$ -L-фукопиранозильный остаток при O2, и продукт моногликозилирования диола (I) — дисахарид (XVI) со свободной OH-группой при C2. Целевой бис- $\beta$ -L-фукозилированный трисахарид (XIII) в реакционной смеси обнаружен не был. Очевидно, что нежелательный стереохимический результат этой реакции — образование 2-O- $\alpha$ -L-фукозилированного продукта (XV) — определяется недостаточной реакционной способностью OH-группы при C2 в диоле (I) и в дисахариде (XVI) в реакции фукозилирования. Подобная ситуация наблюдалась нами ранее [17] при гликозилировании малореакционноспособной OH-группы в метил- $\beta$ -O-ацетил-3-O-бензоил-2-дезокси-2-фталимило- $\beta$ -D-глюкозипиранозиде бензобромгалактозой (*D*-аналог бромида (VI)) — в условиях реакции Гельфераиха преимущественно образовывался 1,2-циклический, а не 1,2-транс-связанный продукт. В работе [17] стереонизбирательность  $\beta$ -галактозилирования удалось значительно увеличить при проведении реакции в нитроистапе в присутствии трифлата серебра и тетраметилмочевины. Можно было ожидать, что эти условия будут способствовать образованию целевого трисахарида (XIII) с двумя  $\beta$ -L-фукопиранозильными остатками. Модельное фукозилирование метил-3,4-ди-O-бензоил- $\alpha$ -L-рамнозипиранозида (II) [16] со свободной аксиальной OH-группой при C2 показало, что в условиях реакции Гельфераиха происходит образование  $\alpha$ -связанного дисахарида (XVII) и лишь следов  $\beta$ -связанного дисахарида (XVIII), идентифицированного в реакционной смеси с помощью ТСХ, тогда как в присутствии трифлата серебра

ра продукты (XVII) и (XVIII) образовывались приблизительно в равном соотношении (выходы 30 и 32%).

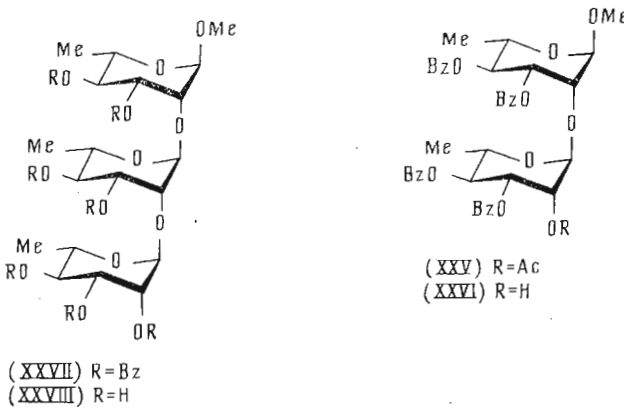


В повторном синтезе трисахарида (XIII) в качестве гликозил-акцептора мы использовали не диол (I), а дисахаридное моногидроксильное производное (XVI). При гликозилировании этого соединения бензобромфукозой (VI) в нитрометане в присутствии трифлата серебра и тетраметилмочевины не удалось достигнуть такого увеличения стереоизбирательности  $\beta$ -фукозилирования, как в упомянутых выше модельных опытах: трисахарид (XV) был по-прежнему преобладающим продуктом (выход 67%), а выход бис- $\beta$ -фукозил-производного (XIII) составил 14%. Неудовлетворительный результат при получении соединения (XIII) следует учитывать при планировании синтезов других трисахаридов с 2-O- $\beta$ -L-фукопиранозил-рамнозным фрагментом. Схема, включающая в себя первоначальное 2-O- $\beta$ -L-фукозилирование подходящим образом защищенного производного метил- $\alpha$ -L-рамнопиранозида с последующим 3-O-гликозилированием, представляется теперь более эффективной, чем основанная на введении  $\beta$ -L-фукопиранозильного остатка в положение 2 на последней стадии, как это было в синтезе трисахарида (XIII) из дисахарида (XVI) и бензобромфукозы (VI).



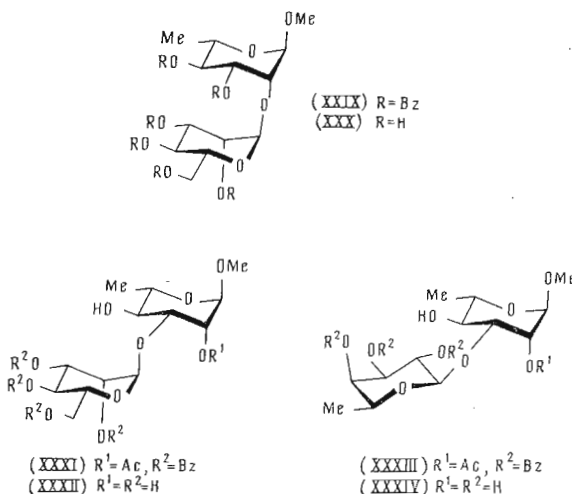
Разветвленный тетрасахарид (ХХІІІ) был получен бис-рамнозилированием диола (ХХІ), образующегося при кислотном гидролизе ацетонида (ХХ) [18]. Как и в случае синтеза триамнозида (VІІ), гликозилирование диола (ХХІ) не вызывало сложности — тетрасахарид (ХХІІ) образовывался с достаточно высоким выходом (77 %), считая на исходное изопропилденовое производное (ХХ).

Синтезированные защищенные производные (VII), (IX), (XI), (XIII) и (XXII) дезацилированием с помощью метилата натрия в абс. метаноле



были переведены в целевые свободные олигосахарины (VIII), (X), (XII), (XIV) и (XXIII).

Для выявления конформационных особенностей рассматриваемых разветвленных олигосахаридов необходимо было располагать данными для (1-2)- и (1-3)-связанных дисахаридов (XIX) и (XXXIV), фрагментов трисахарида (XIV), и дисахаридов (XXX) и (XXXII), фрагментов трисахарида (X). Аналогичные дисахариды, содержащие невосстановляющие остатки  $\alpha$ -L-рамнопиранозы и  $\beta$ -D-глюкопиранозы в положении 2 или 3 метил- $\alpha$ -L-рамнопиранозида, которые можно рассматривать как модели трисахаридов (VIII) и (XII), были изучены ранее [1, 19, 20]. Для исследования тетрасахарида (XXIII) необходимыми моделями представлялись трисахариды (VIII) и (XXVIII), в которых центральный остаток  $\alpha$ -L-рамнопиранозы содержит два вицинальных объемистых заместителя (в положениях 2, 3 и 1, 2 соответственно).



В качестве предшественников указанных свободных олигосахаридов использовались защищенные производные (1-3)-связанных олигосахаридов (XXXI) и (XXXIII) (их синтез будет описан отдельно), (1-2)-связанных дисахаридов (XVIII) и (XIX) и трисахарида (XXVII). Трисахарид (XXVII) был получен из соединения (II) путем ступенчатого наращивания трисахаридной цепи. Первым гликозил-донором служил гликозилбромид (XXIV) [16], содержащий в положении 2 ацетильную группу. Продукт гликозилирования по Гельфериху, биозид (XXV), подвергали мягкому кислотному метанолизу [21], в результате которого был получен гликозил-акцептор (XXVI) с общим выходом 86 %. Его гликозилирование бензобромрамнозой протекало гладко и приводило к целевому производному (XXVII) с выходом 83 %. Биозид (XIX) был получен гликозилированием моногидроксицильного производного (II) с помощью бензобромманнозы (IV) в условиях реакции Гельфериха. Маннозилирование акцеп-

Таблица F

Данные спектров  $^1\text{H}$ -ЯМР защищенных производных (VI), (XVI)–(XVIII),  
(XXVI), (XXIX) и 1,2,3,4-тетра-О-бензоил-*L*-фукопиранозы (XXXV)  
( $\text{CDCl}_3$ ;  $\delta$ , м. д.;  $J$  Гц,  $20^\circ\text{C}$ )

Соединение	Остаток *	$\text{H}1$	$\text{H}2$	$\text{H}3$	$\text{H}4$	$\text{H}5$	$\text{H}6$	$\text{OCH}_3$	$J_{1,2}$	$J_{2,3}$	$J_{3,4}$	$J_{4,5}$	$J_{5,6}$
(VI)		6,95	5,63	6,03	5,85	4,70	1,38		3,8	10,5	3,4	1,1	6,4
(XVI)	B	4,68	3,86	4,20	5,38	3,91	4,28	3,37	1,7	3,5	9,5	9,5	6,2
	H	4,86	5,62	5,46	5,44	3,78	0,80		7,6	10,3	3,2	1,0	6,2
(XVII)	B	4,88	4,39	5,68	5,76	4,11	1,42	3,53	2,1	2,9	10,0	9,1	6,2
	H	5,33	5,92	5,95	5,86	4,59	1,29		3,5	7,0	3,0	1,0	6,5
(XVIII)	B	4,55	4,41	5,47	5,59	3,91	1,16	3,25	1,9	3,4	10,2	9,5	6,2
	H	4,73	5,77	5,46	5,58	3,82	0,80		8,1	11,0	3,5	1,1	6,5
(XXVI)	B	4,90	4,34	5,72	5,63	4,12	1,41	3,50	1,8	2,9	9,9	9,0	6,1
	H	5,06	4,46	5,76	5,61	4,26	1,32		1,7	3,0	9,6	9,6	6,0
(XXIX)	B	4,91	4,55	5,75	5,75	4,16	1,45	3,48	1,6	2,6	10,5	9,4	6,2
	H **	5,27	5,85	6,02	6,12	4,46	3,79		1,6	3,1	9,8	9,8	3,5
(XXXV)	$\alpha$	6,90	6,01	6,11	5,92	4,66	1,34		3,5	10,7	3,0	1,1	6,5
	$\beta$	6,24	***	5,74	5,83	4,38	1,41		8,2	10,0	3,5	1,1	6,4

\* В — «восстанавливющий» остаток, Н — невосстанавливший остаток.

\*\*  $\delta_{\text{H}6}$  4,08 м. д.;  $J_{5,6}$  2,5 Гц,  $J_{6,6}$  12,3 Гц.

\*\*\* Точное расположение сигнала H2 не установлено.

тора (II) в отличие от фукозилирования (см. выше) протекало эффективно и стереоспецифично, выход производного (XXIX) составил 90 %.

Как и в случае разветвленных олигосахаридов, соединения (XVIII), (XXVII), (XXIX), (XXXI) и (XXXIII) превращались в соответствующие свободные продукты при обработке метилатом натрия в метаноле. Удельное вращение и спектры  $^1\text{H}$ - и  $^{13}\text{C}$ -ЯМР трисахарида (XXVIII) совпали с приведенными в работе [22].

Строение всех синтезированных веществ устанавливалось с помощью спектроскопии  $^1\text{H}$ - и  $^{13}\text{C}$ -ЯМР (табл. 1–3), причем дисахаридные продукты анализировались до и после удаления защитных групп, а тетрасахарид (XXII) и трисахариды — после дезацилирования. Отнесение сигналов в спектрах  $^1\text{H}$ -ЯМР дисахаридов проводилось с помощью двойного гомоядерного резонанса, а спектров  $^1\text{H}$ -ЯМР трисахаридов и тетрасахарида (XXIII) — с помощью двумерной корреляционной спектроскопии ( $^1\text{H}$ — $^1\text{H}$  COSYRCT). Сигналы в спектрах  $^{13}\text{C}$ -ЯМР дисахаридов относились с использованием двойного гетероядерного резонанса, а в спектрах трисахаридов и тетрасахарида (XXIII) — с помощью двумерной  $^1\text{H}$ — $^{13}\text{C}$ -корреляционной спектроскопии (XHCORRD). В качестве иллюстрации на рис. 1 и 2 приведены спектры двумерной корреляционной спектроскопии ЯМР, полученные для трисахарида (VIII).

Конфигурация аномерных центров *L*-фукопиранозильных остатков следовала из характерного расположения соответствующих C1 сигналов в спектрах  $^{13}\text{C}$ -ЯМР и из величин констант спин-спинового взаимодействия (КССВ)  $J_{\text{H}1, \text{H}2}$  в спектрах  $^1\text{H}$ -ЯМР.  $\alpha$ -Конфигурация манно- и рамнопиранозильных звеньев подтверждалась характеристическим расположением сигналов C5 в спектрах  $^{13}\text{C}$ -ЯМР незащищенных олигосахаридов.

При определении строения трисахарида (XV) нами привлечены данные по КССВ  $J_{\text{C}1, \text{H}1}$ . Так, в спектре  $^{13}\text{C}$ -ЯМР этого соединения, измеренного без подавления СН-взаимодействий, в области сигналов аномерных углеродов имелись три дублета ( $\delta$  102,3 м. д.,  $J$  158,7 Гц;  $\delta$  100,1 м. д.,  $J$  173,3 Гц;  $\delta$  98,9 м. д.,  $J$  173,3 Гц), из которых только один, наиболее слабопольный, имел КССВ, свойственную  $\beta$ -гликозидам. Это свидетельствовало о том, что один из двух фукозильных остатков в соединении (XV) имеет  $\beta$ -, а второй —  $\alpha$ -конфигурацию. Положение  $\alpha$ -*L*-фукопиранозильного остатка в трисахариде (XV) при O2 (но не O3) рамнозного звена можно было предположить на основании факта образования этого соединения из 3-O- $\beta$ -*L*-фукозилрамнозида (XVI). Этот вывод однозначно подтверж-

Таблица 2

Данные спектров  $^1\text{H}$ -ЯМР свободных олигосахаридов (VIII), (X), (XI), (XII), (XIV), (XIX), (XXX), (XXXII), (XXXIII) и (XXXIV) ( $\text{D}_2\text{O}$ )

Составление	Остаток	$\delta$ , м.д.										FCCB, Гц			
		H1	H2	H3	H4	H5	H6	H6'	OCH <sub>3</sub>	$J_{1,2}$	$J_{2,3}$	$J_{3,4}$	$J_{4,5}$	$J_{5,6}$	$J_{6,6'}$
(VIII)	$\alpha-L\text{-Rha-}(1 \rightarrow 2)$	5,01	4,01	3,80	3,45	3,75	1,29			1,6	3,4	9,6	9,6	6,2	
	$\alpha-L\text{-Rha-}(1 \rightarrow 3)$	5,06	4,06	3,73	3,48	3,71	1,32			1,7	3,4	9,6	9,6	6,2	
(X)	$\alpha-L\text{-Rha-OMe}$	4,80	4,01	3,90	3,59	3,73	1,32			1,6	3,4	9,6	9,6	6,2	
	$\alpha-D\text{-Man-}(1 \rightarrow 2)$	4,97	3,94	3,84	3,70	3,69 *	3,82 *			1,8	3,4	9,9	9,9	6,3	
	$\alpha-D\text{-Man-}(1 \rightarrow 3)$	5,01	3,92	3,86	3,68	3,84 *	3,82 *			1,6	3,5	9,9	9,9	6,3	
(XI)	$\alpha-L\text{-Rha-OMe}$	4,86	4,19	3,89	3,54	3,71	1,30			3,39	3,5	9,6	9,6	6,3	
	$\beta-D\text{-Glc-}(1 \rightarrow 2)$	4,67	3,36	3,52	3,41	3,48	3,92			7,9	9,1	9,1	9,1	1,7	
	$\beta-D\text{-Glc-}(1 \rightarrow 3)$	4,71	3,33	3,46	3,41	3,48	3,89			8,0	9,1	9,1	9,1	1,7	
(XIV)	$\alpha-L\text{-Rha-OMe}$	4,94	4,30	3,96	3,66	3,74	1,32			3,41	1,7	3,4	9,4	9,4	
	$\beta-L\text{-Fuc-}(1 \rightarrow 2)$	4,45	3,51	3,62	3,74	3,76	1,26			7,9	9,8	9,8	9,8	3,4	
	$\beta-L\text{-Fuc-}(1 \rightarrow 2)$	4,50	3,54	3,65	3,73	3,78	1,25			7,9	9,8	9,8	9,8	3,4	
(XV)	$\alpha-L\text{-Rha-OMe}$	4,85	4,23	3,92	3,55	3,71	1,32			3,41	1,8	3,6	3,6	9,7	
	$\beta-L\text{-Fuc-}(1 \rightarrow 2)$	4,41	3,53	3,65	3,76	3,78	1,28			7,5	9,9	9,9	9,9	9,7	
(XVI)	$\alpha-L\text{-Rha-OMe}$	4,83	4,07	3,73	3,44	3,70	1,31			3,42	1,6	3,5	9,7	9,7	
	$\beta-L\text{-Fuc-}(1 \rightarrow 2)$	5,00	3,99	3,78	3,42	3,73	1,30			1,7	3,3	9,5	9,5	6,4	
(XVII)	$\alpha-L\text{-Rha-}(1 \rightarrow 3)$	5,07	4,05	3,71	3,46	3,75	1,31			1,8	3,3	9,6	9,6	6,3	
	$\alpha-L\text{-Rha-}(1 \rightarrow 2)$	5,12	4,16	3,95	3,59	3,78	1,28			3,41	1,8	3,2	9,5	9,5	
(XVIII)	$\alpha-L\text{-Rha-OMe}$	4,75	3,93	3,82	3,46	3,66	1,26			3,39	1,7	3,2	9,5	9,5	
	$\alpha-L\text{-Rha-}(1 \rightarrow 2)$	4,97	4,07	3,79	3,45	3,75	1,29			1,7	3,4	9,5	9,5	6,3	
(XIX)	$\alpha-L\text{-Rha-}(1 \rightarrow 2)$	5,12	4,08	3,90	3,48	3,73	1,27			3,5	1,8	3,5	9,5	6,2	
	$\alpha-L\text{-Rha-OMe}$	4,76	3,93	3,88	3,47	3,69	1,32			3,40	1,7	3,4	9,5	9,5	
(XX)	$\alpha-D\text{-Man-}(1 \rightarrow 2)$	4,94	3,95	3,88	3,66	3,89	3,79			3,74	1,6	3,2	9,6	9,6	
	$\alpha-L\text{-Rha-OMe}$	4,79	3,97	3,79	3,43	3,66	1,29			3,39	1,7	3,3	9,7	9,7	
(XXI)	$\alpha-D\text{-Man-}(1 \rightarrow 3)$	4,98	3,97	3,88	3,68	3,87	3,83			3,74	1,6	3,3	9,6	9,6	
	$\alpha-L\text{-Rha-OMe}$	4,12	4,13	3,79	3,48	3,69	1,30			3,38	1,7	3,3	9,6	9,6	
(XXII)	$\beta-L\text{-Fuc-}(1 \rightarrow 3)$	4,48	3,56	3,68	3,77	3,81	1,27			7,5	9,8	9,8	9,8	1,1	
	$\alpha-L\text{-Rha-OMe}$	4,75	4,42	3,89	3,56	3,73	1,33			3,42	1,6	3,4	9,6	9,6	

\* Положение сигнала установлено из данных корреляционного спектра  $^1\text{H}$ — $^1\text{H}$  COSYCT.

Таблица 3

Данные спектров  $^{13}\text{C}$ -ЯМР свободных олигосахаридов (VIII), (X), (XII), (XIV), (XIX), (XXIII), (XXVIII), (XXX), (XXXII) и (XXXIV) ( $\text{D}_2\text{O}$ )

Соединение	Остаток	C1	C2	C3	C4	C5	C6	$\delta_{\text{CH}_3}$
(VIII)	$\alpha-L\text{-Rha-(1 \rightarrow 2)}$	103,05	71,6	71,45	73,4	70,75	18,1	
	$\alpha-L\text{-Rha-(1 \rightarrow 3)}$	103,6	71,45	71,6	73,3	70,55	18,0	
	$\alpha-L\text{-Rha-OMe}$	100,9	78,8	78,8	73,3	70,2	18,1	56,3
(X)	$\alpha-D\text{-Man-(1 \rightarrow 2)}$	99,5	71,65	71,65	67,85	74,5	62,2	
	$\alpha-D\text{-Man-(1 \rightarrow 3)}$	97,95	71,75	71,9	67,85	74,0	62,2	
	$\alpha-L\text{-Rha-OMe}$	98,9	72,15	74,7	71,75	70,1	18,15	56,35
(XII)	$\beta-D\text{-Glc-(1 \rightarrow 2)}$	105,3	74,75	77,0	70,8	77,2	62,0	
	$\beta-D\text{-Glc-(1 \rightarrow 3)}$	105,1	74,8	77,0	70,9	77,2	62,0	
	$\alpha-L\text{-Rha-OMe}$	101,3	80,0	81,0	72,5	69,8	18,1	56,25
(XIV)	$\beta-L\text{-Fuc-(1 \rightarrow 2)}$	103,45	71,85	74,2	72,7	72,6	16,9	
	$\beta-L\text{-Fuc-(1 \rightarrow 3)}$	103,0	71,65	74,2	72,7	72,5	16,8	
	$\alpha-L\text{-Rha-OMe}$	100,0	76,0	79,05	71,95	69,95	18,05	56,1
(XIX)	$\beta-L\text{-Fuc-(1 \rightarrow 2)}$	103,7	71,7	74,05	72,65	72,3	16,8	
	$\alpha-L\text{-Rha-OMe}$	100,45	79,2	70,9	73,95	69,9	17,9	56,2
	$\alpha-L\text{-Rha-(1 \rightarrow 2)}$	103,05	71,6	71,55	73,7	70,6	18,2	
(XXIII)	$\alpha-L\text{-Rha-(1 \rightarrow 3)}$	103,6	71,5	71,7	73,45	70,85	18,1	
	$\rightarrow 2,3)\text{-}\alpha-L\text{-Rha-(1 \rightarrow 2)}$	102,0	78,6	78,55	73,3	71,0	18,2	
	$\alpha-L\text{-Rha-OMe}$	101,0	79,5	71,55	73,35	70,1	18,1	56,3
(XXVIII)	$\alpha-L\text{-Rha-(1 \rightarrow 2)}$	103,6	71,4	71,4	73,35	70,65	18,0	
	$\rightarrow 2)\text{-}\alpha-L\text{-Rha-(1 \rightarrow 2)}$	102,2	79,65	71,15	73,45	70,5	18,0	
	$\alpha-L\text{-Rha-OMe}$	101,0	79,55	71,4	73,45	70,0	18,0	56,2
(XXX)	$\alpha-D\text{-Man-(1 \rightarrow 2)}$	99,5	71,7	71,7	68,1	74,2	62,3	
	$\alpha-L\text{-Rha-OMe}$	99,1	76,0	70,9	73,4	70,05	18,0	56,25
	$\alpha-D\text{-Man-(1 \rightarrow 3)}$	97,5	71,6	71,75	67,85	73,9	62,1	
(XXXII)	$\alpha-L\text{-Rha-OMe}$	102,05	67,2	75,45	71,6	69,75	18,05	56,1
	$\beta-L\text{-Fuc-(1 \rightarrow 3)}$	102,35	71,9	74,2	72,7	72,4	16,8	
	$\alpha-L\text{-Rha-OMe}$	101,95	69,2	79,7	71,9	69,65	18,15	56,15

ден нами при изучении спектров ЯМР продукта дебензоилирования соединения (XV), в частности на основании величин ЯЭО, наблюдавшихся на кольцевых протонах остатка рамнозы после селективного предоблучения аномерного протона каждого из фукозных остатков. Эти данные будут опубликованы в сообщении, посвященном синтезу бис-гликозилированных производных метил- $\alpha-L$ -рамнопиранозида с неодинаковыми моносахаридными заместителями при  $\text{O}2$  и  $\text{O}3$ .

Наличие свободной  $\text{OH}$ -группы в дисахариде (XVI) при  $\text{C}2$ , а в дисахариде (XXVI) при  $\text{C}2'$  следовало из сильно полого расположения в их спектрах  $^1\text{H}$ -ЯМР сигналов соответственно протонов  $\text{H}2$  и  $\text{H}2'$  и наличия у этих сигналов увеличенной мультиплетности за счет спин-спинового взаимодействия с протоном гидроксила, легко устранившегося с помощью дейтерообмена.

Подробное экспериментальное и теоретическое изучение конформаций синтезированных олигосахаридов, а также эффектов гликозилирования в их спектрах  $^{13}\text{C}$ -ЯМР является предметом следующего сообщения данной серии [23].

### Экспериментальная часть

Температуру плавления определяли на столике Коффлера. Оптическое вращение измеряли на цифровом поляриметре DIP-360 (JASCO) с использованием в качестве растворителя воды в случае свободных олигосахаридов и хлороформа в случае защищенных производных. Спектры  $^1\text{H}$ -ЯМР измерены на приборе Bruker WM-250, а спектры  $^{13}\text{C}$ -ЯМР — на приборе Bruker AM-300; в случае защищенных производных использовались растворы в дейтерохлороформе (внутренний стандарт — тетраметилсилан (TMS)), а спектры свободных олигосахаридов снимали в  $\text{D}_2\text{O}$  с использованием в качестве стандарта ацетона ( $\delta_{\text{CH}_3}$ , 2,225 м. д.,  $\delta_{\text{CH}_3}$ , 31,45 м. д. относительно TMS). При съемке спектров  $^1\text{H}$ -ЯМР защищен-

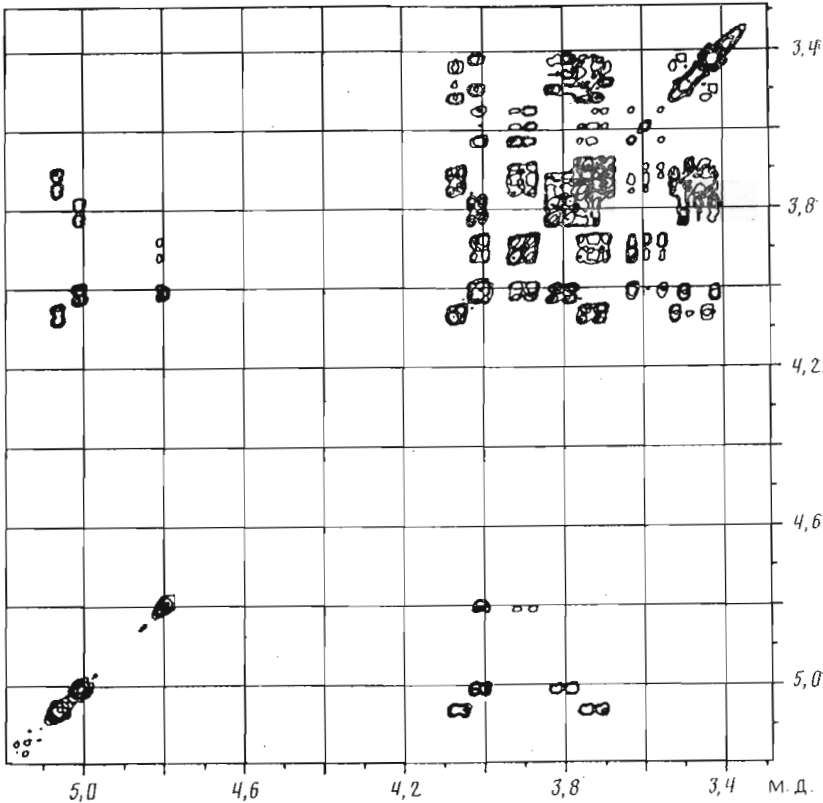


Рис. 1. Двумерный корреляционный спектр  $^1\text{H}$ — $^1\text{H}$  COSYRCT трисахарида (VIII)

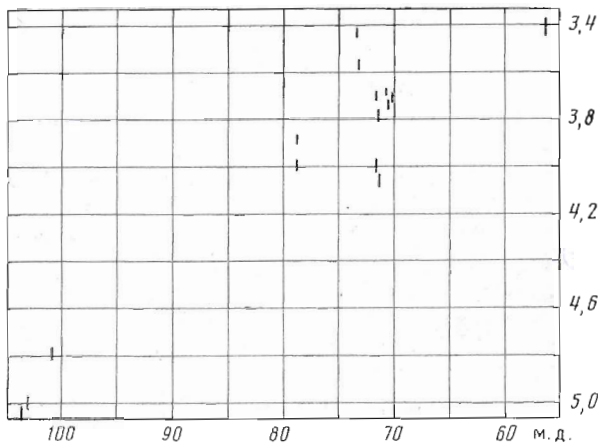


Рис. 2. Двумерный корреляционный спектр  $^1\text{H}$ - $^{13}\text{C}$  трисахарида (VIII)

ных производных со свободной гидроксильной группой для исключения дополнительного увеличения мультиплетности сигналов кольцевых протонов за счет спин-спинового взаимодействия с протоном гидроксильной группы растворы образцов в дейтерохлороформе встряхивали в ампулах для съемки спектров  $^1\text{H}$ -ЯМР с  $\sim 0,1$  мл  $\text{D}_2\text{O}$ ; спектр записывался после полного расслоения получившейся смеси.

Отнесение сигналов в одномерных спектрах  $^1\text{H}$ -ЯМР свободных трисахаридов и тетрасахарида (XXIII) (табл. 2) проводили с использованием данных их двумерных спектров  $^1\text{H}$ — $^1\text{H}$  COSYRCT, полученных с использованием стандартной программы COSYRCT фирмы Bruker для компьютера Aspect-2000. Для регистрации спектров COSYRCT проводилась последовательность задержек и импульсов  $D_1 = 90^\circ - t_1 = 90^\circ - D_2 = 180^\circ - D_2 = 90^\circ$  — спад индуцированного сигнала (СИС), где

$D_1 = 1$ , а  $D_2 = 33$  мс ( $D_2 = 1/4J$ ;  $J = 7,5$  Гц). Использовалось 256 эквидистантных значений периода эволюции ( $t_1$ ) в диапазоне 0,003—208 мс с шагом 0,814 мс. Ширина спектра по координатам  $f_1$  и  $f_2$  500 Гц (исследовалась только область кольцевых протонов), размер матрицы  $512 \times 512$  точек, разрешение 2 Гц на точку по обеим координатам. Перед фурье-преобразованием СИС умножали на синусоидальную функцию с нулевым сдвигом. После фурье-преобразования матрица симметризовалась относительно диагонали. Типичный спектр  $^1\text{H}$ — $^1\text{H}$  COSYRCT приведен на рис. 1.

Двумерные спектры  $^1\text{H}$ — $^{13}\text{C}$ -корреляционной спектроскопии получены с использованием программы XHCORRD для компьютера Aspect-3000. Для регистрации спектров устанавливались спектральные окна в 500 Гц для  $^1\text{H}$  и 5000 Гц для  $^{13}\text{C}$ , соответствующие областям резонансных частот кольцевых протонов и углеродов. Матрицы спектров имели размер  $256 \times 2048$  точек, а времена задержек  $D_3 = 3,2$  мс и  $D_4 = 1,6$  мс были оптимизированы для КССВ  $^1J = 155$  Гц. Перед фурье-преобразованием СИС умножались на квадратичную синусоидальную функцию с нулевым сдвигом. Типичный двумерный  $^1\text{H}$ - $^{13}\text{C}$ -корреляционный спектр приведен на рис. 2.

Ацетонитрил перегоняли над  $\text{P}_2\text{O}_5$  и затем над  $\text{CaH}_2$ . Нитрометан перегоняли над мочевиной (100 мм рт. ст.), дважды над  $\text{P}_2\text{O}_5$  и далее над  $\text{CaH}_2$ . Хлороформ сушили  $\text{CaCl}_2$  и перегоняли над  $\text{P}_2\text{O}_5$ . Для всех опытов использовали свежеперегнанные растворители.

Цианид и бромид ртути(II) — препараты фирмы Merck. Трифлат серебра получен как описано в [24]. Тетра-N-метилмочевину перегоняли и затем хранили над молекулярными ситами 3 Å.

Хроматографию в тонком слое проводили на пластинках с силикагелем Kieselgel 60 (Merck), вещества обнаруживали опрыскиванием 50—70%  $\text{H}_2\text{SO}_4$  с последующим нагреванием при  $\sim 150^\circ\text{C}$ . Системы растворителей для ТСХ: этилацетат — толуол, 1 : 7 (A); этилацетат — толуол, 1 : 1 (B); этилацетат — гептан, 1 : 1 (B). Колоночную хроматографию выполняли на силикагеле L 40/100 мкм (ЧСФР), используя градиентное элюирование от бензола к этилацетату (система Г) или от гептана к этилацетату (система Д).

**Получение бензобромсахаров (III)—(VI).** Синтез 2,3,4,6-тетра-O-бензоил- $\alpha$ -D-глюко- и - $\alpha$ -D-маннопиранозилбромидов (V) и (IV) проводили из соответствующих пентабензоатов в условиях получения бензобромглактозы [17]. Бензобромрамноза синтезирована как описано в работе [16]. Аналогично, действуя раствором  $\text{HBr}$  в хлороформе на 1,2,3,4-тетра-O-бензоил-L-фукопиранозу (XXXV), получали бромид (VI). Тетрабензоат (XXXV) приготовлен исчерпывающим бензоилированием L-фукозы в обычных условиях ( $\text{BzCl}$ ,  $\text{Py}$ ,  $20^\circ\text{C}$ ), выход количественный, соотношение  $\alpha$ - и  $\beta$ -изомеров 5 : 1. Спектры  $^1\text{H}$ -ЯМР соединений (VI) и (XXXV) приведены в табл. 1. Бромиды (III)—(VI), образующиеся с выходами, близкими к количественным, использовались в гликозидных синтезах сразу после получения без специальной очистки.

**Метил-4-O-бензоил-2,3-бис-O-(2,3,4-три-O-бензоил- $\alpha$ -L-рамнопиранозил)- $\alpha$ -L-рамнопиранозид (VII).** К раствору 135 мг (0,48 ммол) диола (I) [16], 505 мг (2 ммол) цианида ртути и 100 мг бромида ртути в 10 мл ацетонитрила при перемешивании по каплям в течение 1 ч прибавляли раствор 1,078 г (2 ммол) бензобромрамнозы (III) в 10 мл ацетонитрила. Реакционную смесь перемешивали 1 ч, концентрировали и распределяли между 70 мл хлороформа и 70 мл насыщенного водного раствора  $\text{KBr}$ . Органический слой отделяли, промывали еще раз раствором  $\text{KBr}$  и водой, фильтровали через слой ваты, концентрировали и из остатка колоночной хроматографией (система Г) выделяли 563 мг трисахарида (VII). Выход 98%, сироп,  $[\alpha]_D^{28} +178,8^\circ$  ( $c$  0,9),  $R_f$  0,42 (A).

**Метил-4-O-бензоил-2,3-бис-O-(2,3,4,6-тетра-O-бензоил- $\alpha$ -D-маннопиранозил)- $\alpha$ -L-рамнопиранозид (IX).** В условиях синтеза трисахарида (VII) из 141 мг (0,5 ммол) диола (I) и 1,318 мг (2 ммол) бензобромманднозы (IV)

получали 640 мг трисахарида (IX). Выход 89 %, сироп,  $[\alpha]_D^{28} +32,1^\circ$  (с 1,0),  $R_f$  0,45 (А).

*Метил-4-O-бензоил-2,3-бис-O-(2,3,4,6-тетра-O-бензоил-β-D-глюкопиранозил)-α-L-рамнопиранозид (XI).* Из 135 мг (0,48 ммоль) диола (I) и 1,318 г (2 ммоль) бензобромглюкозы (V) в условиях синтеза трисахарида (VII), но при нагревании при 60—70° С, получали трисахарид (XI), который дополнительно очищали рехроматографией в системе Д. Выход 480 мг (70 %), сироп,  $[\alpha]_D^{29} +26,5^\circ$  (с 1,65),  $R_f$  0,45 (А).

*Гликозилирование бромидом (VI) диола (I).* В условиях синтеза трисахарида (VII) из 141 мг (0,5 ммоль) диола (I) и 809 мг (1,5 ммоль) бромида (VI) получали 290 мг трисахарида (XV) и 150 мг дисахарида (XVI). (XV): выход 48 %, т. пл. 164—167° С (этилацетат — гексан),  $[\alpha]_D^{29} -202,1^\circ$  (с 0,7),  $R_f$  0,18 (А) и 0,46 (В, трехкратное элюирование). Найдено, %: С 68,34; Н 4,87.  $C_{68}H_{62}O_{20}$ . Вычислено, %: С 68,11; Н 5,21. (XVI): выход 40 %, сироп,  $[\alpha]_D^{25} -127,8^\circ$  (с 0,7),  $R_f$  0,20 (А). Спектр  $^1\text{H}$ -ЯМР дисахарида (XVI) приведен в табл. 1.

*Гликозилирование рамнозидом (II) бромидом (VI).* а) В условиях синтеза трисахарида (VII) из 309 мг (0,8 ммоль) спирта (II) и 862 мг бензобромфукозы (VI) получали 390 мг дисахарида (XVII). Выход 58 %, сироп,  $[\alpha]_D^{28} -203,0^\circ$  (с 1,0),  $R_f$  0,48 (А). По данным ТСХ, в реакционной смеси содержалось незначительное количество дисахарида (XVIII) ( $R_f$  0,35 (А)), который не выделялся.

б) К смеси 386 мг (1,0 ммоль) спирта (II), 514 мг (2 ммоль) трифлата серебра, 180 мкг (~2 ммоль) тетра-N-метилмочевины и 2 г измельченных молекулярных сит 4 Å в 10 мл нитрометана в атмосфере аргона при —20—25° С при перемешивании за 1 ч по каплям прибавляли раствор 1,078 г (2 ммоль) бромида (VI) в 20 мл нитрометана. Реакционную смесь перемешивали при прежней температуре 1 ч, а затем еще 1 ч при 20° С. Далее разбавляли 80 мл хлороформа, фильтровали через слой целита, промывали 5 % водным раствором  $\text{Na}_2\text{S}_2\text{O}_3$  (2 × 50 мл) и снова водой (2 × 50 мл). Органический слой отделяли, фильтровали через слой ваты, концентрировали и из остатка колоночной хроматографией (система Д) выделяли 250 мг дисахарида (XVII) (выход 30 %) и 270 мг его изомера (XVIII) (выход 32 %, сироп,  $[\alpha]_D^{28} +15,0^\circ$  (с 2,0),  $R_f$  0,35 (А)). Спектры  $^1\text{H}$ -ЯМР дисахаридов (XVII) и (XVIII) приведены в табл. 1.

*Гликозилирование дисахарида (XVI) бромидом (VI).* В условиях взаимодействия соединений (II) и (VI) (опыт «б») из 518 мг (0,7 ммоль) моно-гидроксильного производного (XVI) и 755 мг (1,4 ммоль) бромида (VI) получали изомерные трисахариды (XIII) (120 мг) и (XV) (560 мг, выход 67 %) и 80 мг их смеси (~1 : 1). (XIII): выход 14 %, спироп,  $[\alpha]_D^{28} -137,0^\circ$  (с 1,0),  $R_f$  0,48 (В, трехкратное элюирование).

*Метил-3,4-ди-O-ацетил-2-O-[4-O-ацетил-2,3-бис-O-(2,3,4-три-O-бензоил-α-L-рамнопиранозил)-α-L-рамнопиранозил]-α-L-рамнопиранозид (XXII).* Смешивали 170 мг (0,35 ммоль) ацетонида (XX) [18] ( $R_f$  0,51 (Б)), 13 мл хлороформа и 0,6 мл 90 % трифторуксусной кислоты. После окончания дезацетонирования (~20 мин, контроль с помощью ТСХ) раствор концентрировали и далее соупаривали с толуолом (2 × 5 мл). Полученный диол (XXI) ( $R_f$  0,1 (Б)) действием 1,078 г (2 ммоль) бромида (III) в условиях синтеза трисахарида (VII) превращали в защищенный тетрасахарид (XXII). Выход 370 мг (77 %), сироп,  $[\alpha]_D^{25} +116,8^\circ$  (с 2,0),  $R_f$  0,22 (А).

*Метил-2,3-ди-O-бензоил-2-O-(3,4-ди-O-бензоил-α-L-рамнопиранозил)-α-L-рамнопиранозид (XXVI).* В условиях синтеза трисахарида (VII) из 193 мг (0,5 ммоль) дibenzoата (II) и 477 мг (1,0 ммоль) бромида (XXIV) [16] получали 2-O-ацетилированный дисахарид (XXV) ( $R_f$  0,44 (А)), который выделяли колоночной хроматографией в системе А. Полученный продукт растворяли в 5 мл хлороформа и подвергали дезацетилированию действием раствора  $\text{HCl}$  в  $\text{MeOH}$  (получен при смешении 10 мл абс. метанола и 0,4 мл ацетилхлорида [21]) в течение 24 ч при 20° С и 17 ч при 5° С.

Реакционную смесь разбавляли 50 мл хлороформа, промывали насыщенным водным раствором  $\text{NaHCO}_3$  и водой, далее концентрировали и из остатка колоночной хроматографией (система Г) выделяли 310 мг производного (XXVI). Выход 86%, сироп,  $[\alpha]_D^{24} +99,9^\circ$  (*c* 1,0),  $R_f$  0,20 (A). Спектр  $^1\text{H}$ -ЯМР см. табл. 1.

*Метил-3,4-ди-O-бензоил-2-O-[3,6-ди-O-бензоил-2-O-(2,3,4-три-O-бензоил- $\alpha$ -L-рамнопиранозил)- $\alpha$ -L-рамнопиранозил]- $\alpha$ -L-рамнопиранозид* (XXVII). В условиях синтеза трисахарида (VII) из 300 мг (0,41 ммоль) дисахарида (XXVI) и 458 мг (0,85 ммоль) бензобромрамнозы (III) получали 410 мг продукта (XXVII). Выход 83%, сироп,  $[\alpha]_D^{29} +171,0^\circ$  (*c* 2,0),  $R_f$  0,50 (A).

*Метил-3,4-ди-O-бензоил-2-O-(2,3,4,6-тетра-O-бензоил- $\alpha$ -D-маннопиранозил)- $\alpha$ -L-рамнопиранозид* (XXIX). В условиях синтеза трисахарида (VII) из 116 мг (0,3 ммоль) производного (II) и 659 мг (1,0 ммоль) бензобромманиозы (IV) получали 260 мг дисахарида (XXIX). Выход 90%, сироп,  $[\alpha]_D^{24} +45,6^\circ$  (*c* 2,0),  $R_f$  0,42 (A). Спектр  $^1\text{H}$ -ЯМР приведен в табл. 1.

*Получение свободных олигосахаридов.* Ацилированный продукт растворяли в 10 мл 0,1 М раствора метилата натрия в абс. метаноле и выдерживали 16–20 ч при 20° С. Раствор деионизовали катионитом КУ-2 ( $\text{H}^+$ ), фильтровали и концентрировали. Остаток распределяли между 10 мл воды и 10 мл хлороформа. Водный слой отделяли, промывали хлороформом ( $3 \times 10$  мл) и концентрировали. Полученные метилгликозиды свободных олигосахаридов представляют собой сиропообразные вещества.

*Метил-2,3-бис-O-( $\alpha$ -L-рамнопиранозил)- $\alpha$ -L-рамнопиранозид* (VIII) получали из 520 мг гептабензоата (VII). Выход 192 мг (94%),  $[\alpha]_D^{29} -56,8^\circ$  (*c* 2,0).

*Метил-2,3-бис-O-( $\alpha$ -D-маннопиранозил)- $\alpha$ -L-рамнопиранозид* (X) получали из 600 мг ионафензоата (IX). Выход 117 мг (94%),  $[\alpha]_D^{28} +70,9^\circ$  (*c* 1,9).

*Метил-2,3-бис-O-( $\beta$ -D-глюкопиранозил)- $\alpha$ -D-рамнопиранозид* (XII) получали из 300 мг ионафензоата (XI). Выход 98 мг (94%),  $[\alpha]_D^{23} -10,0^\circ$  (*c* 1,1).

*Метил-2,3-бис-O-( $\beta$ -L-фукопиранозил)- $\alpha$ -L-рамнопиранозид* (XIV) получали из 120 мг гептабензоата (XIII). Выход 40 мг (85%),  $[\alpha]_D^{20} +14,9^\circ$  (*c* 1,0).

*Метил-2-O-( $\beta$ -L-фукопиранозил)- $\alpha$ -D-рамнопиранозид* (XIX) получали из 250 мг пентабензоата (XVIII). Выход 75 мг (78%),  $[\alpha]_D^{20} -0,1^\circ$  (*c* 2,0).

*Метил-2-O-[2,3-бис-O-( $\alpha$ -L-рамнопиранозил)- $\alpha$ -L-рамнопиранозил]- $\alpha$ -L-рамнопиранозид* (XXIII) получали из 370 мг продукта (XXII). Выход 118 мг (94%),  $[\alpha]_D^{27} -72,9^\circ$  (*c* 1,0).

*Метил-2-O-[2-O-( $\alpha$ -L-рамнопиранозил)- $\alpha$ -L-рамнопиранозил]- $\alpha$ -L-рамнопиранозид* (XXVIII) получали из 330 мг гептабензоата (XXVII). Выход 78 мг (83%),  $[\alpha]_D^{28} -51,5^\circ$  (*c* 2,0). Лит. данные [22]:  $[\alpha]_D -57,7^\circ$  (*c* 1,0, вода).

*Метил-2-O-( $\alpha$ -D-маннопиранозил)- $\alpha$ -L-рамнопиранозид* (XXX) получали из 250 мг гексабензоата (XXIX). Выход 74 мг (84%),  $[\alpha]_D^{28} +50,4^\circ$  (*c* 1,3).

*Метил-3-O-( $\alpha$ -D-маннопиранозил)- $\alpha$ -L-рамнопиранозид* (XXXII) получали из 230 мг производного (XXXI). Выход 90 мг (92%),  $[\alpha]_D^{26} +36,9^\circ$  (*c* 2,25).

*Метил-3-O-( $\beta$ -L-фукопиранозил)- $\alpha$ -L-рамнопиранозид* (XXXIV) получали из 155 мг производного (XXXIII). Выход 66 мг (89%),  $[\alpha]_D^{28} -27,5^\circ$  (*c* 1,0).

## СПИСОК ЛИТЕРАТУРЫ

1. Lipkind G. M., Shashkov A. S., Mamyan S. S., Kochetkov N. K. // Carbohydr. Res. 1988. V. 181. № 1. P. 1–12.
2. Lipkind G. M., Shashkov A. S., Knirel Yu. A., Vinogradov E. V., Kochetkov N. K. // Carbohydr. Res. 1988. V. 175. № 1. P. 59–75.
3. Knirel Yu. A., Kocharova N. A., Shashkov A. S., Kochetkov N. K. // Carbohydr. Res. 1989. V. 188. № 1. P. 145–155.
4. Книрель Ю. А., Шашков А. С., Солдаткина М. А., Парамонов Н. А., Захарова И. Я. // Биоорганская химия. 1988. Т. 14. № 9. С. 1208–1213.
5. Kochetkov N. K., Shashkov A. S., Lipkind G. M., Knirel Yu. A. // Soviet Sci. Rev. 1989. V. 13. Part 2. P. 1–73.
6. Jansson P.-E., Kenne L., Widmalm G. // Carbohydr. Res. 1987. V. 168. № 1. P. 67–77.
7. Jansson P.-E., Kenne L., Widmalm G. // Carbohydr. Res. 1989. V. 188. № 1. P. 169–191.
8. Липкинд Г. М., Шашков А. С., Нечаев О. А., Торгов И. В., Шибаев В. Н., Кошетков Н. К. // Биоорганская химия. 1989. Т. 15. № 10. С. 1366–1374.
9. Липкинд Г. М., Шашков А. С., Кошетков Н. К. // Биоорганская химия. 1989. Т. 15. № 11. С. 1534–1537.
10. Baumann H., Erbing B., Jansson P.-E., Kenne L. // J. Chem. Soc. Perkin Trans 1. 1989. № 12. P. 2153–2165.
11. Baumann H., Erbing B., Jansson P.-E., Kenne L. // J. Chem. Soc. Perkin Trans 1. 1989. № 12. P. 2167–2178.
12. Липкинд Г. М., Шашков А. С., Нечаев О. А., Торгов И. В., Шибаев В. Н., Кошетков Н. К. // Биоорганская химия. 1989. Т. 15. № 5. С. 656–669.
13. Липкинд Г. М., Шашков А. С., Нечаев О. А., Торгов И. В., Шибаев В. Н., Кошетков Н. К. // Биоорганская химия. 1989. Т. 15. № 5. С. 670–680.
14. Jansson P.-E., Kenne L., Widmalm G. // Carbohydr. Res. 1989. V. 193. № 2. P. 322–325.
15. Bock K., Guzman J. F.-B. // Carbohydr. Res. 1988. V. 179. № 1. P. 97–124.
16. Байрамова Н. Э., Бакиновский Л. В., Кошетков Н. К. // Изв. АН СССР. Сер. хим. 1985. № 5. С. 1122–1128.
17. Нифантьев Н. Э., Бакиновский Л. В., Кошетков Н. К. // Биоорганская химия. 1987. Т. 13. № 7. С. 977–991.
18. Нифантьев Н. Э., Бакиновский Л. В., Кошетков Н. К. // Биоорганская химия. 1990. Т. 16. № 10. С. 1402–1406.
19. Мамян С. С., Липкинд Г. М., Шашков А. С., Байрамова Н. Э., Николаев А. В., Кошетков Н. К. // Биоорганская химия. 1988. Т. 14. № 2. С. 205–215.
20. Липкинд Г. М., Шашков А. С., Книрель Ю. А., Кошетков Н. К. // Биоорганская химия. 1986. Т. 12. № 6. С. 771–779.
21. Byranova N. E., Ovchinnikov M. V., Backinowsky L. V., Kochetkov N. K. // Carbohydr. Res. 1983. V. 124. № 2. P. C8–C11.
22. Pozsgay V., Brisson J.-R., Jennings H. // Can. J. Chem. 1987. V. 65. № 12. P. 2764–2769.
23. Lipkind G. M., Nifant'ev N. E., Shashkov A. S., Kochetkov N. K. // Can. J. Chem. 1990. V. 68. № 7. P. 1238–1250.
24. Russell D. G., Senior J. B. // Can. J. Chem. 1980. V. 58. № 1. P. 22–29.

Поступила в редакцию  
18.V.1990

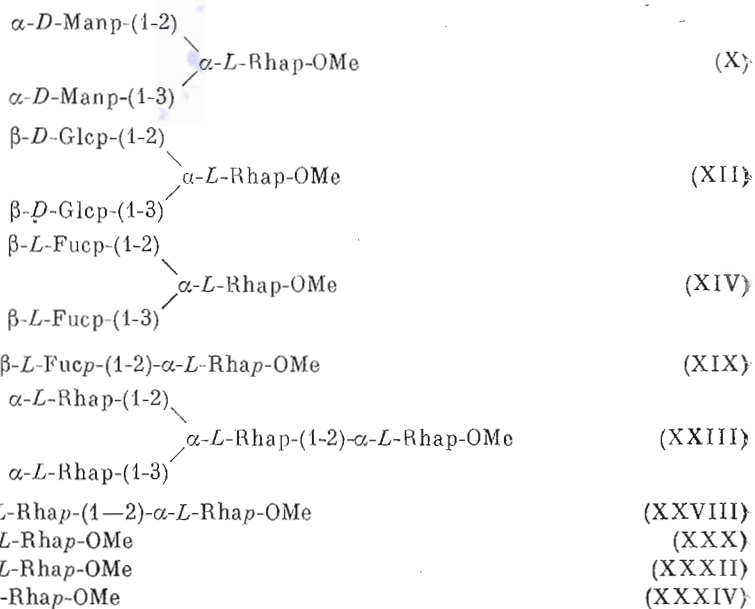
N. E. NIFANT'EV, L. V. BACKINOWSKY, G. M. LIPKIND, A. S. SHASHKOV,  
N. K. KOCHETKOV

### SYNTHESIS AND NMR AND CONFORMATIONAL STUDIES OF BRANCHED OLIGOSACCHARIDES. 1. SYNTHESIS OF BRANCHED OLIGOSACCHARIDES CONTAINING IDENTICAL MONOSACCHARIDE SUBSTITUENTS AT O2 AND O3 OF THE $\alpha$ -L-RHAMNO PYRANOSE RESIDUE

N. D. Zelinsky Institute of Organic Chemistry, Academy of Sciences  
of the USSR, Moscow

Within a programme of spectral (NMR) and conformational studies of 2,3-bis-O-glycosylated derivatives of  $\alpha$ -L-rhamnopyranose the following oligosaccharides were synthesized.





For these compounds the  $^1\text{H}$  and  $^{13}\text{C}$  NMR spectra were obtained and interpreted. Signals in spectra of oligosaccharides (VIII), (X), (XII), (XIV), (XXIII), and (XXVIII) were assigned with the use of 2D correlation spectroscopy  $^1\text{H}-^1\text{H}$  COSYRCT and  $^1\text{H}-^{13}\text{C}$ .